

کلیه حقوق مادی مترتب بر نتایج مطالعات، ابتكارات و
نوآوری‌های ناشی از تحقیق موضوع این پایان‌نامه
متعلق به دانشگاه رازی است.



دانشکده علوم
گروه زیست شناسی

پایان نامه جهت اخذ درجه کارشناسی ارشد رشته زیست شناسی
گرایش سلولی - مولکولی

عنوان پایان نامه

**مطالعه اثر غلظت یون کلسیم خارج سلولی و مورفین بر بیان ژن های
PC12 و bcl-2 در رده سلولی bax**

اساتید راهنمای:

دکتر علی بیدمشکی پور
دکتر مهری آزادبخت

استاد مشاور :

دکتر حسن اکرمی

نگارش :
آرزو ربزیا

چکیده:

آپوپتوز، یک شکل تنظیم شده ژنتیکی مرگ سلولی است که وقتی سلول در معرض تحریکات فیزیولوژیکی، آسیب زا یا سیتوتوکسیک قرار می‌گیرد، رخ می‌دهد. داروهای ایبوئیدی مانند مورفین، با اتصال به گیرنده‌های خود و تحریک این گیرنده‌ها وابسته به دوز مصرفی و مدت زمان استفاده، اثرات متفاوتی را القاء می‌نمایند. به طوری که مقایسه دوزهای پایین و بالای مورفین در محیط آزمایشگاه، اثرات دوگانه وابسته به غلظت، یعنی اثرات میتوژنی در غلظت‌های پایین و مهار رشد یا آپوپتوز را در غلظت‌های بالاتر تائید کرده‌اند. شواهد متعدد نشان داده اند که ایبوئیدها، می‌توانند آپوپتوز را در سلول‌های عصبی و سایر سلول‌ها، مانند سلول‌های ایمنی، سلول‌های سرطانی و رده‌های سلولی کشت داده شده نورونی مانند رده سلولی PC12 القاء نمایند.²⁺ Ca²⁺ یکی از تنظیم کننده‌های کلیدی بقای سلولی است، که در پاسخ به طیف وسیعی از شرایط آسیب زا، قادر به القای آپوپتوز می‌باشد. در این مطالعه، تغییر در میزان بقای سلولی، آپوپتوز و بیان ژن پیش آپوپتوزی *bax* و ژن صدآپوپتوزی *bcl-2* به دنبال تیمار حاد با غلظت‌های مختلف مورفین همراه با غلظت‌های مختلف یون کلسیم خارج سلولی در رده سلولی PC12 بررسی شد. سلول‌های PC12 در محیط کشت RPMI1640 حاوی ۱۰٪ سرم جنین گاو و غلظت‌های مختلف مورفین (۱ و ۱۰۰ میکرومولار) همراه با غلظت‌های مختلف Ca²⁺ خارج سلولی (۰/۷، ۰/۶، ۰/۵، ۰/۴، ۰/۳، ۰/۲ و ۰/۰ میلی مولار) به مدت ۶، ۱۲ و ۲۴ ساعت کشت داده شدند. در این مطالعه، میزان بقای سلولی توسط روش رنگ آمیزی حیاتی نوتراال رد مورد بررسی قرار گرفت. رنگ آمیزی افتراقی بیس بنزآمید و پروپیدیوم یدید و میکروسکوبی فلورسنس برای نشان دادن مرگ سلولی استفاده شد. با به کار بردن واکنش real time RT-PCR کمی، میزان بیان ژن‌های *bax* و *bcl-2* مورد تحقیق قرار گرفت. نتایج آزمون رنگ آمیزی حیاتی توسط نوتراال رد نشان داد که میزان بقای سلول‌های PC12 در حضور غلظت ۱۰۰ میکرومولار مورفین همراه با بالاترین غلظت یون کلسیم خارج سلولی یعنی ۰/۷ میلی مولار در مقایسه با گروه کنترل کاهش یافت ($P < 0/05$). رنگ آمیزی هسته ای بیس بنزآمید و پروپیدیوم یدید نشان داد غلظت ۱۰۰ میکرومولار مورفین همراه با بالاترین غلظت یون کلسیم خارج سلولی یعنی ۰/۷ میلی مولار توکسیک بوده و درصد سلول‌های آپوپتوزی را افزایش می‌دهد ($P < 0/05$). در این مطالعه، نتایج real time RT-PCR کمی نشان داد که غلظت مورفین ۱۰۰ میکرومولار در حضور ۰/۷ میلی مولار یون کلسیم خارج سلولی بیان ژن پیش آپوپتوزی *bax* را افزایش و بیان ژن ضد آپوپتوزی *bcl-2* را کاهش می‌دهد ($P < 0/05$). می‌توان نتیجه گرفت که، آپوپتوز القاء شده توسط مورفین وابسته به حضور یون کلسیم است.

کلمات کلیدی: آپوپتوز، یون کلسیم، مورفین، رده سلولی PC12

فهرست مطالب

صفحه	عنوان
	فصل اول
	مقدمه
۱	۱-۱- مرگ سلولی
۲	۱-۲- مرگ سلولی آپوپتوزی
۳	۱-۳- ویژگی های مرگ سلولی آپوپتوزی
۴	۱-۴- ویژگی های مورفولوژیکی آپوپتوز
۵	۱-۵- ویژگی های بیوشیمیایی آپوپتوز
۶	۱-۶- ویژگی های مولکولی آپوپتوز
۷	۱-۷- مسیرهای سلولی - مولکولی آپوپتوز
۸	۱-۸- مسیر خارجی آپوپتوز
۹	۱-۹- مسیر خارجی آپوپتوز
۱۰	۱-۱۰- لیگاندها و گیرنده های مرگ
۱۱	۱-۱۱- مسیر داخلی آپوپتوز
۱۲	۱-۱۲- نقش کاسپازها در آپوپتوز
۱۳	۱-۱۳- انواع کاسپازها
۱۴	۱-۱۴- فعال شدن پروکاسپاز
۱۵	۱-۱۵- فعال شدن با واسطه میتوکندری کاسپازها
۱۶	۱-۱۶- سوبستراهای پایین دست کاسپازها
۱۷	۱-۱۷- خانواده BCL و نقش آن در آپوپتوز
۱۸	۱-۱۸- انواع پروتئین های خانواده Bcl-2
۱۹	۱-۱۹- پروتئین ضد آپوپتوز-2
۲۰	۱-۲۰- پروتئین ضد آپوپتوز-X
۲۱	۱-۲۱- پروتئین ضد آپوپتوز
۲۲	۱-۲۲- عملکرد IGF-I و پیام رسانی گیرنده IGF-I در آپوپتوز
۲۳	۱-۲۳- پروتئین پیش آپوپتوز Bax
۲۴	۱-۲۴- پروتئین پیش آپوپتوز Bak
۲۵	۱-۲۵- پروتئین پیش آپوپتوز Bad
۲۶	۱-۲۶- پروتئین پیش آپوپتوز Bik
۲۷	۱-۲۷- برهمکنش های پروتئینی در میان اعضای خانواده BCL-2
۲۸	۱-۲۸- نقش p53 در آپوپتوز
	۱-۶- سایر عوامل دخیل در آپوپتوز

۱-۶-۱	- نقش پروتئین کینازها در آپوپتوز.....	۲۸
۱-۶-۱-۱	- فسفاتیدیل کیناز ۳-PI(3K).....	۲۸
۱-۶-۲	- پروتئین کیناز C (PKC).....	۲۸
۱-۶-۲-۱	- نقش کانال های یونی در آپوپتوز.....	۲۹
۱-۶-۲-۲	- کانال های نفوذپذیر به یون کلسیم روی غشای پلاسمایی.....	۳۰
۱-۶-۲-۳	- کانال های نفوذپذیر به یون کلسیم روی غشای پلاسمایی.....	۳۰
۱-۶-۳	- پیام رسانی نورونی یون کلسیم.....	۳۱
۱-۶-۴	- نقش Ca^{2+} در بیان ژن های مختلف در سلول های عصبی.....	۳۲
۱-۶-۵	- پیام دهی Ca^{2+} و آپوپتوز.....	۳۴
۱-۶-۵-۱	- کانال های داخل سلولی Ca^{2+} روی غشای شبکه اندوپلاسمی و میتوکندری.....	۳۵
۱-۶-۶	- توزیع کلسیم داخل سلولی: بقاء و مرگ سلولی.....	۳۶
۱-۶-۷	- کنترل انتقال داخل سلولی Ca^{2+} توسط پروتئین های خانواده Bcl-2	۳۷
۱-۷-۱ Bcl-2/ Bcl-XL -۱-۷-۶-۱	۳۸
۱-۷-۲ Bax/Bak-۲-۷-۶-۱	۳۸
۱-۷-۳	- نقش Bax در پیام دهی Ca^{2+}	۳۸
۱-۷-۴	- اپیوئیدها.....	۴۰
۱-۸	- ساختار اپیوئیدی.....	۴۱
۱-۹	- طبقه بندی اپیوئیدها.....	۴۲
۱-۱۰	- مکانیسم عمل پیوئیدها.....	۴۴
۱-۱۱	- گیرنده های اپیوئیدی.....	۴۵
۱-۱۱-۱	- انواع G پروتئین ها.....	۴۵
۱-۱۱-۲	- انواع گیرنده های اپیوئیدی.....	۴۵
۱-۱۲	- تحمل اپیوئیدی.....	۴۸
۱-۱۳	- واستگی اپیوئیدی.....	۴۸
۱-۱۴	- اثرات حفاظتی و آغاز کنندگی رشد.....	۴۹
۱-۱۵	- مورفین و مسیر کالمودولین-EGFR.....	۵۰
۱-۱۶	- اپیات ها و آپوپتوز.....	۵۱
۱-۱۶-۱	- مرگ سلولی القاء شده توسط مورفین.....	۵۲
۱-۱۸-۱	- مورفین، پیام دهی Ca^{2+} و آپوپتوز.....	۵۸
	اهداف تحقیق.....	۵۸

فصل دوم مواد و روش ها

۶۰.....	۱-۲- مراحل انجام کار به طور خلاصه.
۶۱.....	۲-۲- کشت سلول های رده PC12.
۶۱.....	۲-۲-۱- رده سلولی PC12
۶۱.....	۲-۲-۲- مراحل کشت سلول های رده PC12
۶۱.....	۲-۲-۲-۱- تحویل سلول به صورت زنده.....
۶۲.....	۲-۲-۲-۲- روش تهیه محیط کشت RPMI 1640
۶۳.....	۲-۲-۲-۱- آنتی بیوتیک Penicillin G / Streptomycin Sulfate
۶۳.....	۲-۲-۲-۲- FBS
۶۳.....	۲-۲-۲-۳- محلول (۱۰۰X) NEAA
۶۳.....	۲-۲-۲-۴- محلول (۲۰۰ mM) L-Glutamin (۱۰۰ X)
۶۴.....	۲-۲-۲-۵- پاساز و حفظ ذخیره سلولی
۶۴.....	۲-۲-۲-۶- (Mg ²⁺ و Ca ²⁺) PBS (بدون)
۶۵.....	۲-۲-۲-۷- محلول Trypsin/ EDTA (۰/۰۴٪/۰/۰۵٪)
۶۵.....	۲-۲-۲-۸- ذخیره سلول ها به صورت منجمد.....
۶۵.....	۲-۲-۲-۹- DMSO (۱-۳٪ محلول)
۶۶.....	۲-۲-۱۰- طرح آزمایش
۶۶.....	۲-۲-۱۱- بخش اول
۶۷.....	۲-۲-۱۲- بخش دوم
۶۷.....	۲-۲-۱۳- تهیه محلول های حاوی غلظت های مختلف خارج سلولی Ca ²⁺
۶۸.....	۲-۲-۱۴- EGTA
۶۹.....	۲-۲-۱۵- مورفین سولفات
۶۹.....	۲-۲-۱۶- شمارش سلولی
۷۰.....	۲-۲-۱۷- محلول تریپان بلو ۰/۰۴٪
۷۰.....	۲-۲-۱۸- بررسی میزان زنده ماندن سلول ها با استفاده از رنگ آمیزی حیاتی نوتروال رد (NR)
۷۰.....	۲-۲-۱۹- روش رنگ آمیزی حیاتی نوتروال رد (NR)
۷۲.....	۲-۲-۲۰- محلول نوتروال رد X ۱۰۰
۷۲.....	۲-۲-۲۱- محلول نوتروال رد X ۱۰
۷۳.....	۲-۲-۲۲- محلول رنگ
۷۳.....	۲-۲-۲۳- بررسی مرگ سلولی با استفاده از رنگ آمیزی حیاتی هسته ای Hoechst/ PI
۷۴.....	۲-۲-۲۴- روش رنگ آمیزی هسته ای Hoechst/ PI

۷۵.....	رنگ بیس بنزآمید (Hoechst 33258).....	-۱-۱-۸-۲
۷۶.....	رنگ پروپیدیوم یدید (PI).....	-۲-۱-۸-۲
۷۶.....	ییان رونوشت های Bax و Bcl-2 در سلول های رده PC12	-۹-۲
۷۷.....	استخراج RNA کل از سلول های PC12	-۹-۲
۷۷.....	محتویات کیت	-۹-۲
۷۸.....	مراحل انجام کار	-۹-۲
۸۲.....	بررسی کمی RNA	-۳-۱-۹-۲
۸۲.....	بررسی کیفی RNA استخراج شده	-۴-۱-۹-۲
۸۲.....	روش تهیه ژل FA (۱/۲ آکارز)	-۴-۱-۹-۲
۸۳.....	۱۰ X) FA - بافر ژل	-۱-۱-۴-۱-۹-۲
۸۴.....	(۱ X) FA - بافر ژل	-۲-۱-۴-۱-۹-۲
۸۴.....	محلول ذخیره اتیدیوم برمايد	-۳-۱-۴-۱-۹-۲
۸۴.....	نسخه برداری معکوس (RT)	-۲-۹-۲
۸۵.....	فعالیت های آنزیمی Reverse Transcriptase	-۱-۲-۹-۲
۸۶.....	محتویات کیت	-۲-۹-۲
۸۶.....	مراحل نسخه برداری معکوس	-۳-۲-۹-۲
۸۷.....	PCR) cDNA تکثیر رشته	-۳-۹-۲
۸۸.....	-۱-۳-۹-۲ پرایمرها	
۸۸.....	-۱-۱-۳-۹-۲ تائید پرایمرها	
۸۹.....	-۱-۲-۱-۳-۹-۲ آماده سازی پرایمرها جهت انجام PCR	
۸۹.....	-۱-۲-۱-۳-۹-۲ آماده سازی پرایمرها جهت انجام PCR	
۸۹.....	مراحل تکثیر رشته cDNA	-۲-۳-۹-۲
۹۰.....	-۱-۲-۳-۹-۲ آماده سازی مخلوط (۱۰ mM) dNTP	
۹۱.....	-۳-۳-۹-۲ برنامه زمانی و دمایی انجام PCR	
۹۲.....	-۳-۳-۹-۲ یافتن دمای بهینه اتصال پرایمرها به توالی الگو	
۹۲.....	-۴-۳-۹-۲ ژل الکتروفورز محصولات حاصل از PCR	
۹۳.....	-۱-۴-۳-۹-۲ بافر (۱۰ X) TAE	
۹۳.....	-۲-۴-۳-۹-۲ بافر (۱ X) TAE	
۹۳.....	-۴-۹-۲ بررسی کمی بیان رونوشت ژن ها با استفاده از واکنش real-time RT-PCR کمی	
۹۳.....	-۱-۴-۹-۲ Real-Time PCR	
۹۳.....	-۱-۴-۹-۲ تعریف و مفهوم Real-Time	
۹۴.....	-۲-۱-۴-۹-۲ مزایای روش Real-Time PCR	

۹۶.....	Real-Time PCR با سنجش روش های اندو-رنجین	۲-۹-۴-۱-۴-۳
۹۵.....	Real-Time PCR تکنیک اساس	۲-۹-۴-۱-۴-۴
۹۵.....	PCR واکنش یک نمودار مختلف مراحل	۲-۹-۴-۱-۴-۱
۹۷.....	Real-Time واکنش کمی کردن	۲-۹-۴-۱-۲-۲
۹۷.....	Threshold و Ct تعیین	۲-۹-۴-۱-۲-۱
۹۸.....	ذوب منحنی بررسی	۲-۹-۴-۱-۳-۳
۹۹.....	کردن نرمال	۲-۹-۴-۱-۴-۴
۱۰۰.....	استاندارد منحنی رسم	۲-۹-۴-۱-۴-۵
.....	کمی real-time PCR با استفاده از واکنش Bax و Bcl-2 های رونوشت بیان کمی.	۲-۹-۴-۲-۴-۲
۱۰۲.....		
۱۰۳.....	کیت محظوظات	۲-۹-۴-۱-۲-۱
۱۰۳.....	کار انجام مراحل	۲-۹-۴-۲-۲-۲
۱۰۴.....	استاندارد منحنی محاسبه کارایی واکنش تکثیر	۲-۹-۴-۲-۳
۱۰۴.....	نتایج آنالیز Real-Time PCR	۲-۹-۴-۲-۴-۴

فصل سوم

روش های آماری

۱۰۸.....	کلسیم و دوزهای مختلف مورفین	۱-۳- ارزیابی میزان زنده ماندن سلول های رده PC12 در حضور غلظت های مختلف خارج سلولی یون
۱۰۸.....		۱-۱-۱- میزان زنده ماندن سلول ها در گروه I
۱۰۹.....		۱-۱-۲- میزان زنده ماندن سلول ها در گروه های II و III
۱۱۲.....	PC12	۱-۲- مرگ سلولی در سلول های رده PC12
۱۱۲.....		۱-۲-۱- میزان مرگ سلولی در سلول های گروه I
۱۱۳.....		۱-۲-۲- میزان مرگ سلولی در سلول های گروه های II و III
۱۱۹.....	PC12	۱-۳- بیان رونوشت های Bax و Bcl-2 در سلول های رده PC12
۱۱۹.....		۱-۳-۱- استخراج RNA کل
۱۱۹.....		۱-۳-۲- بررسی کمی RNA کل استخراج شده
۱۱۹.....		۱-۳-۳- بررسی کیفی RNA کل استخراج شده
۱۲۰.....	(PCR) cDNA	۲-۳-۱- تکثیر رشته (PCR) cDNA
۱۲۱.....		۲-۳-۲- نتایج حاصل از بررسی بیان ژن های β -ctin و bax در سلول های PC12 توسط RT -PCR
۱۲۲.....		۲-۳-۳- بررسی کمی بیان رونوشت ژن ها با استفاده از واکنش real-time RT-PCR کمی

۱۲۲.....	نتایج حاصل از بررسی منحنی ذوب برای هر سه ژن <i>bcl-2</i> , β - <i>actin</i> و <i>bax</i>	۳-۴-۱-۱
۱۲۳....	نتایج حاصل از رسم منحنی استاندارد برای هر سه ژن <i>bcl-2</i> , β - <i>actin</i> و <i>bax</i>	۳-۴-۲-۲
۱۲۸.....	بیان رونوشت های Bax و Bcl-2 در سلول های رده PC12	۳-۴-۳-۱
۱۲۸.....	بیان رونوشت های Bax و Bcl-2 در گروه I سلول های PC12	۳-۴-۳-۱
۱۲۸.....	بیان رونوشت های Bax و Bcl-2 در گروه II سلول های PC12	۳-۴-۳-۲
۱۳۰.	مقایسه نسبت بیان رونوشت Bax به Bcl-2 در گروه های I و II سلول رده PC12	۳-۴-۳-۳
۱۳۱.....	مقایسه نسبت بیان رونوشت Bax به Bcl-2 در گروه I سلول های رده PC12	۳-۴-۳-۱
۱۳۱.....	مقایسه نسبت بیان رونوشت Bax به Bcl-2 در گروه II سلول های رده PC12	۳-۴-۳-۲
فصل چهارم		
بحث و نتیجه گیری		
۱۳۴.....	بحث	۴-۱-۱
۱۴۵.....	نتیجه گیری و پیشنهادات	۴-۲-۲
۱۴۸.....	منابع	

فهرست شکل ها

عنوان	صفحه
شکل ۱-۱. ویژگی های مرگ سلولی آپوپتوزی و نکروزی.....	۵
شکل ۲-۱. به عنوان مدلی حاوی اجزای اساسی ماشین مرگ سلولی. آنالوگ های <i>C.elegans</i>	۷
شکل ۱-۳. سیگنال های مرگ.....	۸
شکل ۱-۴. دو مسیر اصلی آپوپتوز در سلول های پستانداران.....	۱۱
شکل ۱-۵. مکانیسم های فعال شدن کاسپازها.....	۱۳
شکل ۱-۶. فعال شدن با واسطه میتوکندری کاسپاز در آپوپتوزوم.....	۱۵
شکل ۱-۷. خانواده پروتئین های Bcl-2	۱۹
شکل ۱-۸. تشکیل کمپلکس آپوپتوزوم.....	۲۰
شکل ۱-۹. شبکه p53. تنظیم بقاء و مرگ سلول.....	۲۷
شکل ۱-۱۰. پیام دهی نورونی Ca^{2+}	۳۱
شکل ۱-۱۱. مسیرهای متفاوت تنظیم بیان ژن ها توسط یون کلسیم.....	۳۲
شکل ۱-۱۲. مسیرهای خارجی و داخلی آپوپتوز.....	۳۴
شکل ۱-۱۳. توزیع Ca^{2+} در سلول.....	۳۵
شکل ۱-۱۴. همئوستازی Ca^{2+} و تنظیم Bax	۳۹
شکل ۱-۱۵. ساختار مورفین.....	۴۱
شکل ۱-۱۶. ساختمان مولکولی انواع اپیوئیدها.....	۴۲
شکل ۱-۱۷. محل گیرنده های اپیوئیدی.....	۴۳
شکل ۱-۱۸. ساختار گیرنده های اپیوئیدی.....	۴۶
شکل ۱-۱۹. مسیرهای پیام رسانی متفاوت مورفین در سلول ها.....	۴۹
شکل ۱-۲۰. میانکنش بین اپیوئیدها و.....	۵۰
شکل ۱-۲۱. مکانیسم احتمالی آپوپتوز نورونی القاء شده توسط اپیوئید.....	۵۳
شکل ۱-۲۲. مکانیسم احتمالی برای اثرات آغاز کنندگی مرگ و ضد تکثیری مورفین.....	۵۶
شکل ۱-۲. رده سلولی PC12.....	۶۱
شکل ۲-۲. نحوه شمارش سلولی بر روی لام ثوبار.....	۶۹
شکل ۲-۳. مراحل استخراج RNA کل از سلول های PC12.....	۸۱
شکل ۲-۴. سنتز cDNA Quantiscrypt Reverse Transcriptase در سنتز اولین رشته	۸۵
شکل ۲-۵. مراحل مختلف نمودار خام یک واکنش PCR.....	۹۷

شکل ۶-۲. منحنی ذوب یک واکنش Real-time PCR	۹۹
شکل ۷-۲. منحنی استاندارد رسم شده توسط دستگاه REAL-TIME	۱۰۱
شکل ۱-۳. میزان زنده ماندن سلول های رده PC12 در حضور غلظت های مختلف یون کلسیم خارج سلولی به تنها یی و همراه با مورفین	۱۱۱
شکل ۲-۳. میزان مرگ سلولی آپوپتوزی سلول های رده PC12 در حضور غلظت های مختلف یون کلسیم خارج سلولی به تنها یی و همراه با مورفین	۱۱۵
شکل ۳-۳. میزان مرگ سلولی نکروزی سلول های رده PC12 در حضور غلظت های مختلف یون کلسیم خارج سلولی به تنها یی و همراه با مورفین	۱۱۷
شکل ۴-۳. میزان مرگ سلولی سلول های رده PC12 در حضور غلظت های مختلف یون کلسیم خارج سلولی به تنها یی و همراه با مورفین	۱۱۸
شکل ۵-۳. الکتروفورز ژل آگارز برای نمونه RNA کل تخلیص شده از سلول های PC12	۱۲۱
شکل ۶-۳. تائید بیان ژن های <i>bcl-2</i> و <i>bax</i> و β - <i>actin</i> مورد نظر با استفاده از RT-PCR	۱۲۲
شکل ۷-۳. آنالیز منحنی ذوب برای ژن β - <i>actin</i>	۱۲۳
شکل ۸-۳. منحنی تکثیر ژن β - <i>actin</i>	۱۲۴
شکل ۹-۳. نمودار منحنی استاندارد ژن β - <i>actin</i>	۱۲۴
شکل ۱۰-۳. آنالیز منحنی ذوب برای ژن <i>bax</i>	۱۲۵
شکل ۱۱-۳. نمودار منحنی تکثیر ژن <i>bax</i>	۱۲۵
شکل ۱۲-۳. نمودار منحنی استاندارد ژن <i>bax</i>	۱۲۶
شکل ۱۳-۳. آنالیز منحنی ذوب برای ژن <i>bcl-2</i>	۱۲۶
شکل ۱۴-۳. نمودارهای منحنی تکثیر ژن <i>bcl-2</i>	۱۲۷
شکل ۱۵-۳. نمودار منحنی استاندارد ژن <i>bcl-2</i>	۱۲۷
شکل ۱۶-۳. بیان رونوشت های <i>Bax</i> و <i>Bcl-2</i> سلول های رده PC12 در حضور غلظت های مختلف یون کلسیم خارج سلولی به تنها یی و همراه با مورفین	۱۳۰
شکل ۱۷-۳. شکل ۱۷-۳. نسبت بیان رونوشت های <i>Bax</i> و <i>Bcl-2</i> سلول های رده PC12 در حضور غلظت های مختلف یون کلسیم خارج سلولی به تنها یی و همراه با مورفین در زمان ۲۴ ساعت	۱۳۲

فهرست جداول ها

عنوان	
صفحه	
جدول ۱-۱. کاسپازهایی که در آپوپتوز در پستانداران دخیل هستند.....	۱۲
جدول ۱-۲. خانواده پروتئین های BCL-2 در موجودات مختلف.....	۱۸
جدول ۲-۱. غلظت EGTA و یون کلسیم محیط کشت.....	۶۸
جدول ۲-۲. ویژگی های پرایمرهای به کار برده شده	۸۸
جدول ۳-۱. میزان زنده ماندن سلول های رده PC12 در حضور غلظت های مختلف یون کلسیم خارج سلولی به تنها یی و همراه با مورفین.....	۱۱۰
جدول ۳-۲. میزان مرگ سلولی آپوپتوزی سلول های رده PC12 در حضور غلظت های مختلف یون کلسیم خارج سلولی به تنها یی و همراه با مورفین.....	۱۱۴
جدول ۳-۳. میزان مرگ سلولی نکروزی سلول های رده PC12 در حضور غلظت های مختلف یون کلسیم خارج سلولی به تنها یی و همراه با مورفین.....	۱۱۶
جدول ۳-۴. بیان رونوشت های Bax و Bcl-2 در گروه کنترل و آزمون در زمان ۲۴ ساعت.....	۱۲۹
جدول ۳-۵. نسبت بیان رونوشت Bax به Bcl-2 در گروه کنترل و آزمون در زمان ۲۴ ساعت.....	۱۳۱

مخفف ها

AIDS: Autoimmuno Deficiency Syndrome

AIF: Apoptosis Inducing Factor

Apaf -1: Fas Associated Death Domain

Ask: Apoptosis Signal-Regulating Kinase

Bak: Bcl-2 homologous antagonist/killer

BCL-2: B-cell CLL/Lymphoma

BH: BCL-2 Homology Domain

CAD: Caspase-activated DNAase

CaM: Calmoduline /Ca²⁺

CaM kinase: Ca²⁺/Calmodulin-Dependent Protein Kinase

cAMP: Cyclic Adenosine Monophosphate

Caspase: Cystein Aspartic Acid Proteases

CD95L: CD95 Ligand

CHO: Chines Hamster Ovary

CREB: cAMP-responsive element binding protein

DIABLO: Direct IAP Binding Protein with Low pI

DISC: Death Inducing Signaling Complex

DOR: Delta Opioid Receptors

ERK: Extracellular-signal-regulated kinase

FADD: Apoptotic Protease-Activating Factor-1

FBS: Fetal Bovine Serum

GPCR: G-protein coupled receptor

GRK: G-protein coupled receptor Kinase

IAP: Inhibitors of Apoptosis Proteins

ICAD: Inhibitor of Caspase-Activated DNAase

IGFBP: Insulin-Like Growth Factor Binding Protein

IGF-I: Insulin-Like Growth Factor-I

IMM: Inner Mitochondrial Membrane

IMS: Mitochondrial Intermembrane Space

InsP₃Rs: Inositol 1,4,5-triphosphate Receptors

JNK: C-Jun N-terminal Kinase

KOR: Kappa Opioid Receptors

MAP: Mitogen-activated protein

MMP: Matrix Metaloproteinases

MOR: Mu Opioid Receptors

NMDAR: N- Metyle D-Aspartate Receptors

OMM: Outer Mitochondrial Membrane

PARPI : Poly(ADP-ribose) Polymerase I

PC12: Pheochromocytoma

PCD: Programmed Cell Death

PI: Propidium Iodide

PI3-K: Phosphoinositide 3-Kinase

PI-PLC: Phosphoinositide-Specific Phospholipases

PKA: cAMP-dependent protein kinase

PKB: Protein Kinase B

PKC: Protein kinase C

PTEN: Phosphatase and Tensin Homolog

ROS: Reactive Oxygen Species

RYRs: Ryanodine Receptors

Smac: Second Mitochondria- Derived Activator of Caspases

TM : Transmembrane Domain

TNF- α : Tumor Necrosis Factor

TUNEL: Terminal Uridine deoxynucleotidyl transferase dUTP Nick End Labeling
Phosphate Buffer Slain

فصل اول

مقدمه

۱-۱- مرگ سلولی^۱

مرگ سلولی نتیجهٔ نهایی آسیب سلول و یکی از وخیم‌ترین رویداد‌ها در روند آسیب هر بافت یا عضو است. این حالت در نتیجهٔ عواملی چون ایسکمی^۲ (فقدان جریان خون)، عفونت، استرس، سموم و واکنش‌های ایمنی به وجود می‌آید. به علاوه، مرگ سلولی، جزء اساسی و طبیعی در رویان زایی، شکل گیری اعضاء و حفظ همئوستازی است (Sadoul *et al.*, 1994).

از نظر بیوشیمیایی و مورفولوژیکی دو شکل اساسی مرگ سلولی شامل آپوپتوز^۳ و نکروز^۴، معرفی شده است (Lockshin *et al.*, 2001). از اواسط قرن نوزدهم بسیاری از مطالعات نشان دادند که مرگ سلولی نقش مهمی در فرآیندهای فیزیولوژیکی موجودات چند سلولی مانند جنین زایی و دگردیسی ایفا می‌نماید (Gluecksmann *et al.*, 1951). واژه مرگ سلولی برنامه ریزی شده (PCD)^۵ در سال ۱۹۶۴ ارائه شد و پیشنهاد می‌کند که مرگ سلولی طی تکوین، تصادفی نبوده و مجموعه‌ای از مراحل کنترل شده را شامل می‌شود که منجر به نوعی خودکشی سلولی^۶ می‌گردد (Lockshin *et al.*, 1964).

۱-۲- مرگ سلولی آپوپتوزی

در سال ۱۹۷۲، Kerr و Wyllie^۷ و Currie^۸، واژه آپوپتوز را به منظور شرح فرآیندهای فیزیولوژیکی که منجر به خودکشی کنترل شده سلولی می‌گردند و شکل متفاوتی از مرگ سلولی هستند را مورد استفاده قرار دادند (Kerr *et al.*, 1972).

¹. Cell Death

². Ischemia

³. Apoptosis

⁴. Necrosis

⁵. Programmed Cell Death^۹ (PCD)

⁶. Cell Suicide

آپوپتوز، واژه ای یونانی به معنای افتادن یا سقوط کردن، مانند افتادن برگ از درختان یا افتادن گلبرگ ها از گل ها است. این تشابه بر این نکته تاکید می نماید که مرگ ماده زنده، بخشی ضروری در چرخه زندگی موجودات است. حالت آپوپتوزی مرگ سلوالی، فرآیندی فعال و مشخص است که تحت شرایط فیزیولوژیکی و آسیب زا در تکامل موجودات پرسلوالی در تنظیم و بقای جمعیت های سلوالی بافت ها نقش مهمی را ایفا می نماید (Leist *et al.*, 2001).

۱-۳- ویژگی های مرگ سلوالی آپوپتوزی

آپوپتوز، مرگ سلوالی تنظیم شده، فرآیند پیچیده ای است. تصمیم برای مردن نمی تواند به سادگی اتخاذ شود و بسیاری از ژن ها، با ایفای نقش در برنامه خودکشی سلوالی، سرنوشت سلوال را تحت تاثیر قرار می دهند. موجودات چند سلوالی، اغلب نیاز به حذف نمودن سلوال های اضافی دارند و به منظور دست یابی به این هدف، از یک برنامه مولکولی سازمان یافته شده بهره می برند. مرگ سلوالی تنظیم شده مشابه تقسیم و مهاجرت سلوالی، به موجود اجازه می دهد که تعداد سلوال ها و اندازه بافت را به شدت تنظیم نموده و همئوستازی را حفظ نماید (Hengartner 2000).

در بدن انسان در هر ثانیه ۱۰۰۰۰۰ سلوال از طریق میتوز تولید می شوند و تعداد مشابهی از طریق آپوپتوز می میرن (Vaux *et al.*, 1988). کاهش میزان آپوپتوز می تواند منجر به سرطان، بیماری های خود ایمنی و گسترش عفونت های ویروسی گردد، در حالی که افزایش میزان آپوپتوز اختلالات تخریب کننده نورونی، نقص اکتسابی سیستم ایمنی (AIDS)^۱ و ایسکمی را سبب می گردد (Fadeel *et al.*, 199). در حال حاضر، آپوپتوز در سه سطح مورفولوژی، بیوشیمیایی و مولکولی بررسی می شود.

^۱. Autoimmuno Deficiency Syndrome (AIDS)

۱-۳-۱- ویژگی های مورفولوژیکی آپوپتوز

مرگ سلولی آپوپتوزی، شامل سه مرحله آغاز^۱، اجرا^۲ و خاتمه^۳ است. طی مراحل مختلف آپوپتوز، تغییرات مورفولوژیکی متعددی روی می‌دهد. در مرحله آغاز آپوپتوز، سلول چروکیده می‌شود که نشان دهنده از دست رفتن تماس سلول با سلول‌های همسایه و در نتیجه از دست رفتن شکل سلول است. در این مرحله، سیتوپلاسم و اندامک‌ها متراکم شده و سلول‌ها از نظر اندازه کوچکتر می‌شوند و پیکنوز^۴ که نتیجه متراکم شدن میتوکندری و ویژگی مشخص آپوپتوز است توسط میکروسکوپ نوری قابل مشاهده است.

طی مرحله اجرا، جایی فسفولیپیدهای غشاء و قرارگیری فسفاتیدیل سرین در رویه خارجی آن، قطعه قطعه شدن هسته^۵، متراکم شدن کروماتین^۶ و تجزیه DNA^۷ روی می‌دهد. این مرحله با حباب دار شدن^۸ غشای پلاسمایی و جداشدن قطعات سلولی به شکل اجسام آپوپتوزی^۹ طی فرآیندی تحت نام جوانه زدن^{۱۰} رخ می‌دهد. اجسام آپوپتوزی، شامل سیتوپلاسم، اندامک‌های کاملاً "فسرده شده با یا بدون قطعات هسته‌ای هستند (Saraste *et al.*, 2000).

سلول‌های آپوپتوزی محتويات خود را در محیط اطراف رها نمی‌کنند. در ابتدای مرحله خاتمه، اجسام آپوپتوزی توسط ماکروفازها دربرگرفته می‌شوند و بدون بروز پاسخ‌های التهابی، از بافت حذف می‌گردند (Leist *et al.*, 2001). از این‌رو، آپوپتوز در تضاد با حالت نکروز^{۱۱}ی مرگ سلولی قرار می‌گیرد. نکروز نوعی مرگ سلولی است که منجر به از هم گسیختگی غشاء، تورم و گسیختگی سلول‌ها می‌گردد. طی نکروز، محتويات سلولی به شکل کنترل نشده‌ای به محیط اطراف سلول آزاد می‌شوند که این امر منجر به آسیب سلول‌های مجاور و بروز پاسخ‌های التهابی شدید در بافت مربوطه می‌گردد (Saraste *et al.*, 2000) (شکل ۱-۱).

¹. Initiation

². Progression

³. Termination

⁴. Pyknosis

⁵. Nuclear Fragmentation

⁶. Chromatin Condensation

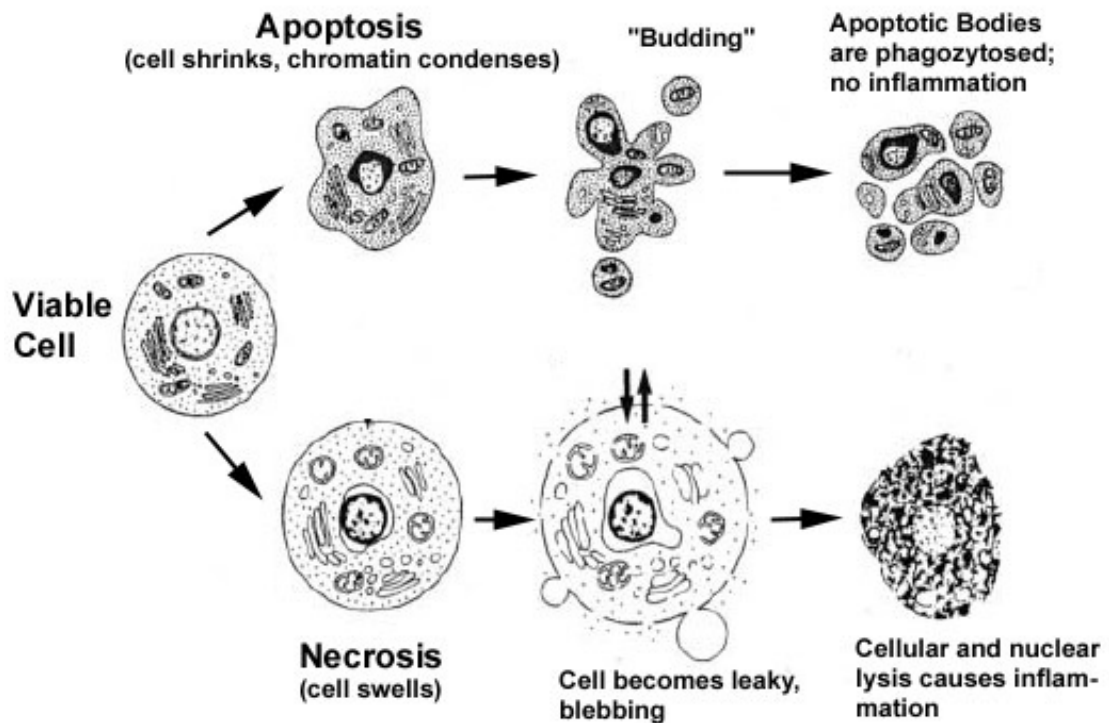
⁷. DNA Degredation

⁸. Blebbing

⁹. Apoptotic Bodies

¹⁰. Budding

¹¹. Necrosis



شکل ۱-۱. ویژگی های مرگ سلولی آپوپتوزی و نکروزی (Van Cruchten *et al.*, 2002)

بسیاری از محرک های آسیب زا مانند گرمایی، پرتوها، کمبود اکسیژن و داروهای سیتوتوکسیک ضد سرطان در مقادیر کم آپوپتوز را القاء می کنند، اما همان محرک ها در مقادیر بالاتر می توانند منجر به بروز نکروز گردند (Zeiss *et al.*, 2003).

تغییرات مورفولوژیکی آپوپتوز، ناشی از رویدادهای مولکولی و بیوشیمیایی مختلف به دنبال فعال شدن آنزیم های پروتئولیتیک در یک سلول آپوپتوزی هستند. فعال شدن این آنزیم ها، منجر به شکسته شدن DNA به قطعات الیگونوکلئوتیدی و سوبستراهای پروتئینی ویژه ای که به طور معمول در حفظ یکپارچگی سیتوپلاسم در گیر هستند، می گردد (Leist *et al.*, 2001).

۲-۳-۱- ویژگی های بیوشیمیایی آپوپتوز

مرگ سلولی برنامه ریزی شده به مسیرهای بیوشیمیایی درون سلولی به شدت کنترل شده ای ارجاع داده می شود که منجر به بروز ویژگی های مورفولوژیکی می گردد. این تغییرات مورفولوژیکی وابسته به مسیرهای